

## مقاله علمی-پژوهشی

# بررسی برخی از عامل‌های انرژی و اکسرژی در طی عملیات حرارت‌دهی اهمیک آب‌نارنج

محمد واحدی ترشیزی<sup>۱</sup>، محسن آزادبخت<sup>۲\*</sup>، مهدی کاشانی نژاد<sup>۳</sup>

تاریخ دریافت: ۱۳۹۸/۰۲/۲۸

تاریخ پذیرش: ۱۳۹۸/۰۹/۲۶

## چکیده

مواد غذایی از ترکیبات مختلفی تشکیل شده‌اند و بعد از مدتی عمر مفید خود را از دست می‌دهند و یکی از روش‌های افزایش ماندگاری مواد غذایی فرآیند حرارتی می‌باشد، ازین‌رو در این تحقیق یک دستگاه گرمایش اهمیک ساخته شد تا فرآیند حرارت‌دهی انجام شود. در این فرآیند سه گردایان ولتاژ ۰/۳۳ V cm<sup>-۱</sup> و ۱۰/۸۳ V cm<sup>-۱</sup> و ۱۳/۳۳ V cm<sup>-۱</sup> و سه درصد کاهش وزن نمونه (۱۰، ۲۰ و ۳۰ درصد) نسبت به وزن کل انتخاب گردید. طی فرآیند حرارتی روند بازده انرژی، بازده اکسرژی، اکسرژی تلفشده و پتانسیل بهبود بررسی شد. تمامی آزمایش‌ها در سه تکرار انجام گرفت و نتایج با استفاده از نرم‌افزار SAS برای بررسی آماری در آزمایش فاکتوریل در قالب طرح کاملاً تصادفی تجزیه و تحلیل شد. با توجه به نتایج به دست آمده بیشترین مقدار بازده انرژی و اکسرژی در گردایان ولتاژ ۱۳/۳۳ V cm<sup>-۱</sup> و برای پتانسیل بهبود و اکسرژی تلفشده در گردایان ولتاژ ۸/۳۳ V cm<sup>-۱</sup> می‌باشد. بیشترین بازده انرژی ۱۶/۹۱٪ در درصد کاهش وزن ۱۰٪ و برای بازده اکسرژی ۵۹/۵۱٪ در درصد کاهش وزن ۳۰٪ بوده است و بیشترین مقدار اکسرژی تلفشده و پتانسیل بهبود در درصد کاهش وزن ۳۰٪ و بهترین ۵/۶۲۴ kW ۶/۷۶ و ۵/۶۲۴ بهبود است.

واژه‌های کلیدی: انرژی و اکسرژی، آب‌نارنج، تحلیل آماری، فرآیند اهمیک

## مقدمه

محصولات غذایی کشاورزی ضروری است. در سال‌های اخیر، فناوری‌های جایگزین از جنبه‌های صنعتی و مصرف‌کننده در سراسر جهان اهمیت یافته‌اند. با کاهش انرژی مصرفی هدررفته در صنعت و مصارف صنعتی، برخی از مشکلات مانند منابع انرژی و مشکلات زیستمحیطی برطرف می‌شود؛ همچنین این نتیجه، ارزش اقتصادی بیشتری برای آن کشور فراهم خواهد کرد. ازین‌رو محققان برای غله بر تمام این مشکلات، متمرکز بر تکنولوژی‌های جایگزین در فرآیند صنعتی هستند که تیمارهای الکتریکی نقش مهمی در روش‌های متداول در تکنولوژی مواد غذایی بازی می‌کنند. فرآیند اهمیک یک روش الکتریکی حرارتی است که بر مبنای عبور جریان الکتریسیته از طریق یک محصول می‌باشد که به عنوان مقاومت الکتریکی عمل می‌کند (Bozkurt and Icier, 2010). فرآیند اهمیک به عنوان فرآیند تعریف می‌شود که در آن جریان الکتریکی از بین بافت ماده غذایی بهمنظور حرارت‌دهی آن، عبور داده می‌شود. طی این عمل انرژی الکتریکی به حرارت تبدیل شده و درنتیجه حرارت‌دهی به صورت سریع و یکنواخت اتفاق می‌افتد (Cokgezme et al., 2017).

روش کاربردهای مختلفی در صنعت غذا دارد که از مزایای آن می‌توان به کنترل آسان، بهره‌وری منابع انرژی، حفظ بهتر ویتامین‌ها و قیمت مناسب آن در مقایسه با فرآیندهایی مثل ماکروویو اشاره نمود. ازین‌رو برای مواد مایع حاوی ذرات، به دلیل گرم شدن هم‌زمان با مایع و حتی سریع‌تر بسیار مفید و کارآمد می‌باشد. انرژی گرمایی تولیدشده به قدرت میدان الکتریکی مورد استفاده و هدایت الکتریکی بستگی دارد که نکته مهم در استفاده ازین روش آن است که آلدگی

مواد غذایی از ترکیبات مختلفی تشکیل شده‌اند که وقتی عمر مفید خود را از دست می‌دهند برای مصرف نامناسب می‌شوند و اتمام عمر مفید منجر به ایجاد برخی میکرووارگانیسم‌های بیماری‌زا در مواد غذایی می‌شود و باکتری‌ها به طرز شگفت‌انگیزی افزایش می‌یابند که باعث می‌گردد مواد غذایی فرآوری نشده در طی مدت کوتاهی از بین برond (Tull, 1996). از دست دادن کیفیت بسیار وابسته به نوع غذا، ترکیب آن، فرمولاسیون، بسته‌بندی و شرایط ذخیره‌سازی است. اساساً اثرات مکانیکی، فیزیکی، شیمیایی و میکروبی علل اصلی خراب شدن مواد غذایی و خراب‌کاری هستند (Moreno et al., 2011). اهداف اصلی فرآیند حرارتی متعارف برای اطمینان از سلامت میکروبیولوژیک، افزایش عمر مفید مواد غذایی از طریق تخریب آنزیمهای، سموم و غیره است. علی‌رغم اثربخشی فل‌آوری‌های سنتی از دیدگاه اینمی میکروبی، آن‌ها سبب کاهش حساسیت و فواید مثبت تغذیه‌ای می‌شوند (Varghese et al., 2012). بنابراین فرآیند

- دانش‌آموخته کارشناسی ارشد، گروه مهندسی مکانیک بیوسیستم، دانشگاه علوم کشاورزی و منابع طبیعی گرگان
  - دانشیار، گروه مهندسی مکانیک بیوسیستم، دانشگاه علوم کشاورزی و منابع طبیعی گرگان
  - استاد، گروه مهندسی صنایع غذایی، دانشگاه علوم کشاورزی و منابع طبیعی گرگان
- (\*)- نویسنده مسئول:  
DOI: 10.22067/jam.v11i2.80760

(Zell *et al.*, 2011) مصرفی و مدت زمان فرآیند گرمایش اهمی دارد.

همین طور محققی بر روی راندمان حرارتی سیستم گرمایش اهمی بر روی محصول whey solutions آزمایشی را انجام دادن که مشخص شد، راندمان این سیستم در محدوده ۵۲/۰ تا ۹۲/۰ می‌باشد (Icier, 2009).

گروه دیگری از محققان در پژوهشی در یک سیستم گرمایش اهمیک بر روی Ground lean beef آزمایشی انجام دادند که در این آزمایش تأثیر تغییرات گردایان ولتاژ را بر روی بازده انرژی، اکسرژی و پتانسیل بیبود مورد بررسی قرار دادند و نتایج آنها نشان داد که بازده انرژی و اکسرژی با افزایش گردایان ولتاژ افزایش یافته است (Bozkurt and Icier, 2010).

همچنین محققانی انرژی مصرفی و اکسرژی سیستم گرمایش اهمی برای فرآوری گوشت بررسی کردند. آن‌ها بیان کردند که گردایان ولتاژ اثر معنی‌داری بر میزان مصرف انرژی دارد؛ به طوری که با افزایش گردایان ولتاژ از  $20\text{ V cm}^{-1}$  به ۴۰ باعث افزایش بازده انرژی از ۶۹٪ به ۹۱٪ و افزایش بازده اکسرژی از ۸۳٪ به ۸۲٪ می‌گردد (Bozkurt and Icier, 2009).

گروهی دیگری از محققین بر روی انرژی و اکسرژی تولید گوجه‌فرنگی در طی حرارت‌دهی اهمیک آزمایشی را انجام دادند که نتیجه این آزمایش نشان داد که بازده انرژی و انرژی تلفشده ویژه با افزایش میزان گردایان ولتاژ و کوتاه‌تر کردن فرآیند افزایش می‌یابد. همچنین در یک ولتاژ ثابت با افزایش مدت زمان حرارت‌دهی اهمیک میزان بازده اکسرژی و اکسرژی تلفشده افزایش یافته است (Darvishi *et al.*, 2015).

همچنین چند محقق بر روی بازده انرژی و انرژی مصرفی پختن گوشت با استفاده از روش اهمیک گزارش کردند که استفاده از این روش بازده انرژی ۹۲ درصدی داشته و می‌تواند به میزان ۸۲ درصد انرژی مصرفی را برای پختن گوشت کاهش دهد (Halleux *et al.*, 2005).

با توجه به این که معمول‌ترین روش جهت سالم‌سازی آب نارنج، روش حرارت‌دهی است باید بتوان روشی را مورد استفاده قرار داد که علاوه بر حفظ خصوصیات کیفی محصول، پارامترهای خود سیستم حرارت‌دهی مانند ولتاژ، مدت زمان حرارت‌دهی و غیره در بهترین حالت باشد که یافتن این فاکتورها نیاز به بررسی دارد، بنابراین با توجه به اهمیت موضوع، هدف از این تحقیق بررسی تأثیر ولتاژ و درصد کاهش وزن آب نارنج بر روی عامل‌های انرژی و اکسرژی عملیات حرارت‌دهی اهمیک می‌باشد. همچنین در منابع پیشین با این روش حرارتی تحقیقی بر روی آب نارنج انجام نشده است. و بنابراین با توجه به اهمیت موضوع، هدف از این بررسی تأثیر فاکتورهای بیان شده بر انرژی و اکسرژی طی فرآیند اهمیک بوده است.

زیست‌محیطی بر جای نمی‌گذارد و مقاومت الکتریکی می‌تواند باعث تشدید حرارت و انتقال جرم شود (Darvishi *et al.*, 2011; Moreno *et al.*, 2016). با توجه به این که انرژی عامل اصلی در تلاش‌های کلی برای دستیابی به توسعه پایدار است و فرآیندهای حرارت‌دهی ۱۲ درصد کل مصرف انرژی در صنایع غذایی را شامل می‌شود که هزینه فرآیند حرارت‌دهی می‌تواند به ۶۰ تا ۷۰ درصد کل هزینه برسد، بنابراین، محققان و مهندسان برای کاهش حداکثر انرژی و افزایش بهره‌وری تجزیه و تحلیل مهندسی سیستم‌ها را ضروری می‌دانند. تجزیه و تحلیل انرژی به صورت کلی هیچ‌گونه اطلاعاتی در مورد میزان انرژی مصرفی مفید دستگاه ارائه نمی‌دهد و بنابراین برای طراحی پایدار یا اهداف بهینه‌سازی بی‌فائده است، از این‌رو در قانون دوم ترمودینامیک اکسرژی به عنوان یک مقدار کمی از کیفیت انرژی و یا حداکثر کار مفید در طول فرآیند بوده که برای طراحی‌ها سیستم‌ها نیاز می‌باشد (Aghbashlo *et al.*, 2013; Hepbasli *et al.*, 2008). انرژی مورد استفاده در فرآیند خشک‌کردن و حرارت‌دهی برای فرآیندهای تولید در بخش‌های صنعتی و خانگی اهمیت دارد. با این حال، قیمت این انرژی بسیار گران است بنابراین، انگیزه قوی برای ایجاد فرآیندهایی است که از انرژی به صورت مؤثر استفاده می‌کنند. در حال حاضر فرآیندهای حرارت‌دهی که به طور گستره‌های مورد استفاده قرار می‌گیرند پیچیده و ناکارآمد هستند و عموماً به محیط‌زیست آسیب می‌رسانند. بنابراین، لازم است که روشی ساده و ارزان قیمت که در طیف وسیعی از شرایط قابل تعديل باشد، مورد Boldaji *et al.*, 2017; Jindarat, *et al.*, 2017 استفاده قرار گیرد (Boldaji *et al.*, 2017; Jindarat, *et al.*, 2017).

در تجزیه و تحلیل اکسرژی، هدف اصلی این است که محل و مقدار تولید برگشت‌ناپذیری در طی فرآیندهای مختلف چرخه ترمودینامیکی و عوامل مؤثر بر تولید این برگشت‌ناپذیری، تعیین گردد، به این ترتیب، علاوه بر ارزیابی عملکرد اجزای مختلف چرخه ترمودینامیکی، روش‌هایی برای افزایش کارایی چرخه نیز شناسایی می‌شوند (Mokhtarian *et al.*, 2016; Azadbakht *et al.*, 2016).

در (2018) محققین زیادی درباره انرژی و اکسرژی فرآیندهای حرارتی آزمایش‌هایی را انجام دادند:

گروهی از پژوهشگران به بررسی انرژی مصرفی در سیستم گرمایش اهمیک آب پر تقال پرداختند و بیان کردند که با افزایش گردایان ولتاژ میزان مصرف انرژی کاهش می‌یابد (Icier and Ilcali, 2005).

همچنین جمعی از محققین اثر نوع الکترود در طی فرآیند گرمایش اهمی بر روی غذاهای جامد را مورد بررسی قرار دادند که مشخص گردید نوع الکترود اثر زیادی بر راندمان حرارتی، انرژی

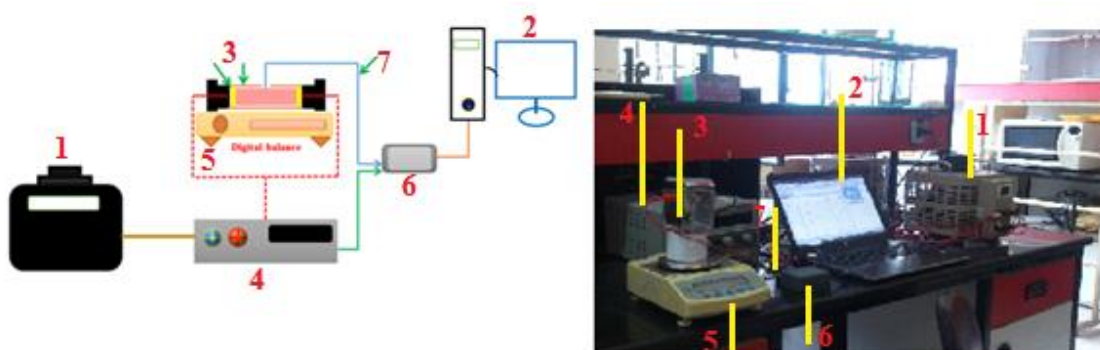
برای انجام این آزمایش، یک مخزن (از جنس پلاستیک‌های ترموموست) در نظر گرفته شد که نمونه‌ها درون این مخزن و بین دو الکترود ریخته شده و دمای اولیه آن‌ها ثبت گردید. تمامی نمونه‌ها با وزن ورودی ۹۰ گرم انتخاب شد و بعد از ثبت دمایی ولتاژ به مجموعه وارد شده و نمونه‌ها گرم شدند. برای انجام فرآیند حرارت‌دهی سه گرادیان ولتاژ  $V = ۸/۳۳ \text{ cm}^{-۱}$ ،  $۱۰/۸۳ \text{ cm}^{-۱}$  و  $۱۳/۳۳ \text{ cm}^{-۱}$  انتخاب شد و سعی گردید با استفاده از این گرادیان ولتاژها، حدود ۱۰ (از ۹۰ گرم به ۸۱ گرم)، ۲۰ (از ۹۰ گرم به ۷۲ گرم) و ۳۰ (از ۹۰ گرم به ۶۳ گرم) درصد از وزن کل نمونه‌های آب‌نارنج درون سلول طی فرآیند حرارت‌دهی بخار گردد. در شکل ۱ شماتیک فرآیند حرارت‌دهی و اجزای سیستم نشان داده شده است.

## مواد و روش‌ها

### آماده‌سازی نمونه

نارنج‌ها از یک باغ واقع در شهرستان گرگان، استان گلستان خریداری شد. نارنج‌های تهیه شده شسته و از وسط به دونیم تقسیم شد و در یک شرایط یکسان برای تمام نمونه‌ها آب‌گیری به صورت دستی انجام شد و پس از استخراج به منظور جداسازی ذرات معلق پالپ و اجزای بافت، عصاره‌ی میوه از صافی با مش ۱۷۰ عبور داده شد.

### روش انجام آزمایش



شکل ۱- شماتیک تجهیزات استفاده شده برای فرآیند حرارت‌دهی اهمیک

۱- مبدل متغیر (رگولاتور)، ۲- لپ‌تاپ، ۳- سلول اهمیک، ۴- پاور آنالیزر، ۵- ترازو، ۶- کنترل پنل، ۷- ترموموکوب

**Fig.1.** Schematic of equipment used for the ohmic heating process

1- Variable transformer, 2- Laptop, 3- Ohmic cell, 4- Power analyzer, 5- Scale, 6- Control panel, 7-Thermocouple

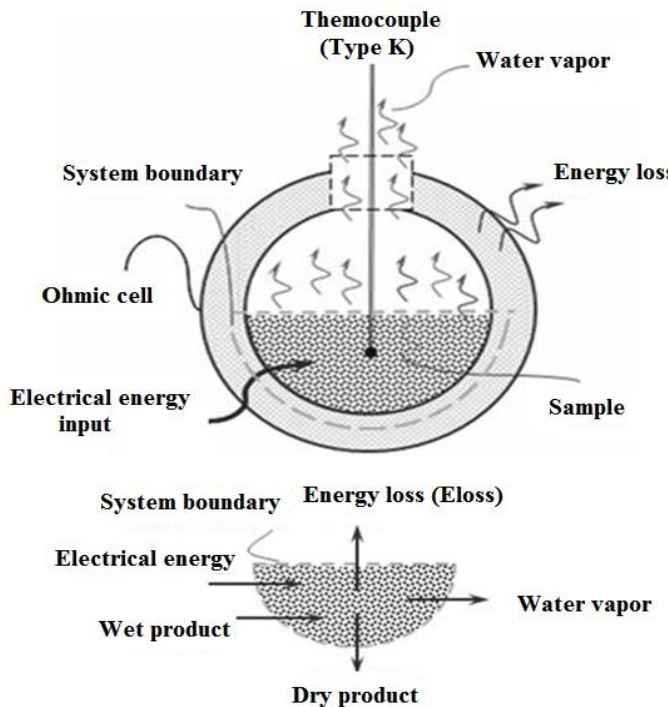
تغییرات وزن در طی فرآیند حرارتی از یک ترازو با دقت ۰/۰۱ گرم استفاده گردید. تمامی آزمایش‌ها در گروه مکانیک بیوسیستم دانشگاه علوم کشاورزی و منابع طبیعی گرگان انجام شد.

#### آنالیز انرژی

پایستگی جرم و انرژی برای کنترل حجم (سلول اهمیک) گرمایش اهمیک در شکل ۲ نشان داده شده است. معادله عمومی پایستگی جرم را می‌توان در رابطه (۱) بیان کرد:

$$\sum_{m_{in}=m_{ew}+m_p} m_{in} = \sum m_{out} \quad (1)$$

آزمایش‌ها در یک سیستم گرمایش اهمیک ساکن انجام شد. سیستم استفاده شده شامل یک سلول از جنس پلاستیک فشرده و شفاف (طول  $6 \text{ cm}$  عرض  $4 \text{ cm}$  ارتفاع  $3 \text{ cm}$  ضخامت دیواره  $0.1 \text{ cm}$ )، الکترود از جنس استیل ضدزنگ (ضخامت  $0.3 \text{ cm}$ ) و فاصله بین دو الکترود  $6 \text{ cm}$  و از یک Variable Transformer که وظیفه ایجاد ولتاژهای مختلف را دارد، استفاده شد (که  $3 \text{ kW}$ ,  $0-300 \text{ V}$ ,  $50 \text{ Hz}$ , MST-3, Toyo, Japan). پاور آنالیزر (Lutron DW-6090) نیز وظیفه بررسی و کنترل نحوه رفتار انرژی سیستم را بر عهده داشت. از یک سنسور دما ضد آب LM35DZ دارای پرآب استیل ضد زنگ جهت اندازه‌گیری دمای نمونه و یک کامپیوتر برای ذخیره داده‌ها استفاده شده است. برای اندازه‌گیری



(Darvishi et al., 2015)

**Fig.2.** Volume control of the Ohmic heating system

انرژی داده شده به سیستم با استفاده از جریان ورودی و ولتاژ داده شده به نمونه‌ها ثبت شد و طبق رابطه (۶) محاسبه شد (Darvishi et al., 2015).

$$E_{electrical} = \int_0^t (V \times I) dt \quad (6)$$

بازده انرژی سیستم گرمایش اهمیک با استفاده از رابطه (۷) محاسبه شد (Darvishi et al., 2015).

$$\eta_{en} = \frac{(mC_p T)_P + m_{ew}\lambda_{wp}}{(mC_p T)_{in} + E_{electrical}} \quad (7)$$

### آنالیز اکسرژی

در محدوده آنالیز اکسرژی ورودی، اکسرژی خروجی و تلف شده سیستم گرمایش اهمیک مورد بررسی قرار گرفت. عموماً معادله اکسرژی کل سیستم‌های گرمایش با استفاده از رابطه (۸) توضیح داده می‌شود:

$$\begin{aligned} m_{in} ex_{in} + E_{electrical} &= \sum EX_{in} = \sum EX_{out} \\ &= m_p ex_p + m_{ew} ex_{ew} \\ &\quad + EX_{Loss} \end{aligned} \quad (8)$$

اکسرژی تلف شده با استفاده از رابطه (۹) محاسبه شد (Azadbakht et al., 2017).

$$ex_{loss} = EX_{in} - EX_{out} \quad (9)$$

انرژی تعادل عمومی را می‌توان با استفاده از رابطه (۲) بیان کرد که انرژی ورودی برابر با انرژی خروجی می‌باشد (Darvishi et al., 2018; Darvishi et al., 2015).

$$\begin{aligned} \sum E_{in} &= \sum E_{out} \\ (mC_p T)_{in} + E_{electrical} &= (mC_p T)_P + m_{ew}\lambda_{wp} \\ &\quad + E_{Loss} \end{aligned} \quad (2)$$

گرمایی نهان محصول با استفاده از رابطه (۳) و گرمایی نهان آب با استفاده از رابطه (۴) محاسبه شد (Abdelmotaleb et al., 2009; Sharqawy et al., 2010).

$$\begin{aligned} \frac{\lambda_{wp}}{\lambda_w} &= 1 + 23 \times \exp(-40m_t) M \\ &\geq 0.9 \frac{\text{kg Water}}{\text{kg dry matter}} \end{aligned} \quad (3)$$

$$\begin{aligned} \lambda_w &= 3.217 \times 10^6 - 2.631 \times 10^3 T - 2.40T^2 \\ &\quad + 1.460 \times 10^{-2} T^3 - 2.079 \times 10^{-5} T^4 \\ 273 \leq T &\leq 473 K \end{aligned} \quad (4)$$

ظرفیت گرمایی با استفاده از مدل Siebel's محاسبه شد (Heldman and Moraru, 2014).

$$C_p = 0.71 + 3.393 \times \frac{M_t}{1 + M_t} \quad (5)$$

نمونه‌های آزمایش در سه گرadiان ولتاژ  $8/33$  V و  $10/83$  V  $\text{cm}^{-1}$  تا زمانی که  $10$ ،  $20$  و  $30$  درصد از وزن کل نمونه کاهش یابد، قرار گرفتند و بازده انرژی، بازده اکسرژی، اکسرژی تلفشده و پتانسیل بهبود محاسبه شد. تمامی آزمایش‌ها در سه تکرار انجام گرفت و نتایج با استفاده از آزمایش در قالب طرح کاملاً تصادفی با استفاده از نرم‌افزار آماری SAS تحلیل شد.

### نتایج و بحث

در جدول ۱ نتایج حاصل از آنالیز واریانس برای تأثیر گرadiان ولتاژ و درصد کاهش وزن بر روی بازده انرژی، بازده اکسرژی، اکسرژی تلفشده و پتانسیل بهبود نشان داده شده است. بر اساس نتایج نشان داده شده می‌توان بین کرد که فاکتورهای گرadiان ولتاژ و درصدهای کاهش وزن بر روی بازده انرژی، بازده اکسرژی، اکسرژی تلفشده و پتانسیل بهبود در سطح ۱ درصد معنی‌دار شده است. همچنین اثر متقابل گرadiان ولتاژ و درصد کاهش وزن نیز برای تمامی فاکتورها در سطح ۱ درصد معنی‌دار بود و با توجه به معنی‌دار شدن اثر متقابل اقدام به انجام آزمون LSD گردید که نتایج در شکل ۳، ۴ و ۵ نشان داده شده است.

اجزای اکسرژی در ورودی و خروجی سیستم گرمایش اهمیک با استفاده از رابطه (۱۰) محاسبه شد (Darvishi et al., 2015).

$$ex = C_p \left[ (T - T_\infty) - T_\infty \ln\left(\frac{T}{T_\infty}\right) \right] \quad (10)$$

بازده اکسرژی سیستم اهمیک را می‌توان با استفاده از رابطه (۱۱) محاسبه کرد (Darvishi et al., 2015):

$$\eta_{ex} = \left( \frac{m_p ex_p + m_{ew} ex_{ew}}{m_{in} ex_{in} + E_{electrical}} \right) \times 100 \quad (11)$$

Van Gool (۱۹۹۷) پیشنهاد کرد که حداقل بهسازی در بازده اکسرژی یک فرآیند یا سیستم زمانی به دست می‌آید که اکسرژی تلفشده یا غیرقابل بازگشت به کمترین میزان خود برسد. پیشنهاد شد که از مفهوم "پتانسیل بهبود" در تجزیه و تحلیل فرآیندها یا بخش‌های مختلف اقتصاد استفاده شود و این پتانسیل بهبود در فرم Hammond and Stapleton داده شد (Hammond and Stapleton, 2001 and Stapleton, 2001)

$$IP = (1 - \eta_{ex}) \times (EX_{in} - EX_{out}) \quad (12)$$

آنالیز آماری

جدول ۱- آنالیز واریانس بازده انرژی، بازده اکسرژی، اکسرژی تلفشده و پتانسیل بهبود

Table 1- Analysis of variance of energy efficiency, exergy efficiency, exergy loss and improvement potential

	DF	بازده اکسرژی		بازده انرژی	
		Energy efficiency	Exergy efficiency	Mean square	F value
گرadiان ولتاژ	2	1363.387	219.91**	390.352	19.98**
Voltage gradient					
درصد کاهش وزن	2	483.75	77.09**	608.610	297.11**
percent of the total weight loss					
درصد کاهش وزن $\times$ گرadiان ولتاژ	4	4.81	7.75**	42.58	20.8**
Voltage gradient $\times$ percent of the total weight loss					
خطا	17		0.0621		0.204
Error					
پتانسیل بهبود					
		اکسرژی تلفشده		Exergy loss	
Improvement potential					
گرadiان ولتاژ	2	7.916	37.52**	9.344	28.1**
Voltage gradient					
درصد کاهش وزن	2	7.289	34.75**	0.787	29.5**
percent of the total weight loss					
درصد کاهش وزن $\times$ گرadiان ولتاژ	4	0.172	8.20**	0.902	2.72**
Voltage gradient $\times$ percent of the total weight loss					
خطا	17		0.0210		0.0331
Error					

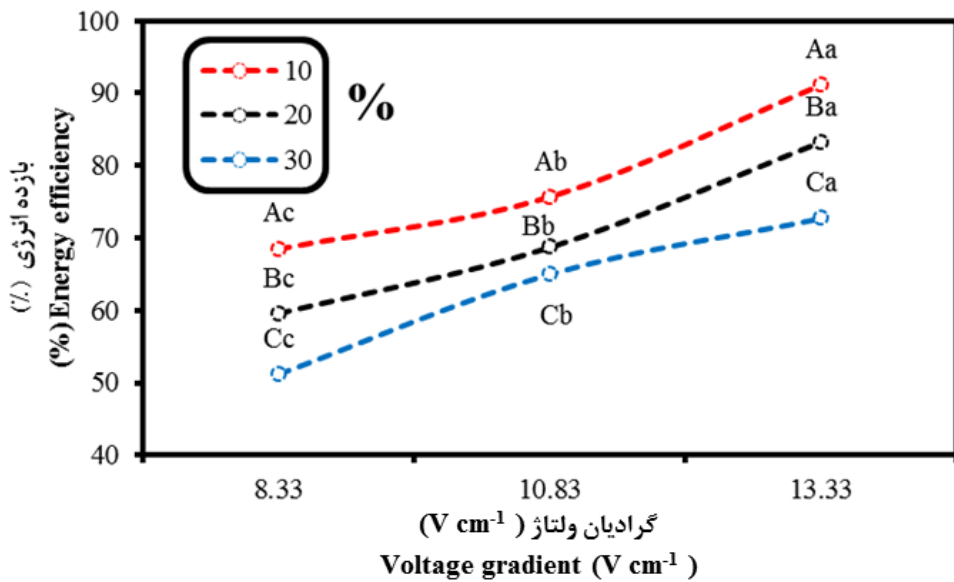
افزایش یافته است. با توجه به شکل ۳ بیشترین مقدار بازده انرژی  $16/33$  V در گرadiان ولتاژ  $cm^{-1}$  و درصد کاهش وزن  $10/83$  % و کمترین مقدار  $51/17$  % در گرadiان ولتاژ  $cm^{-1}$  و درصد کاهش وزن  $30/3$  % بوده است. همچنین در یک گرadiان ولتاژ ثابت بین

### بازده انرژی

در شکل ۳ برای بازده انرژی، اثر متقابل گرadiان ولتاژ و درصد کاهش وزن نشان داده شده است که با توجه به نتایج، در یک گرadiان ولتاژ ثابت، با کم شدن درصد کاهش وزن، میزان بازده انرژی

توجیه کرد که افزایش ولتاژ سبب افزایش میزان دمای نمونه شده و ازاین‌رو میزان تبخیر سریع‌تر و با سرعت بیشتری در نمونه اتفاق خواهد افتاد که نتایج به‌دست‌آمده مشابه نتایج درویشی و همکاران (Darvishi *et al.*, ۲۰۱۵) بر روی تولید روب‌گوجه‌فرنگی بوده است. ۲۰۱۵)

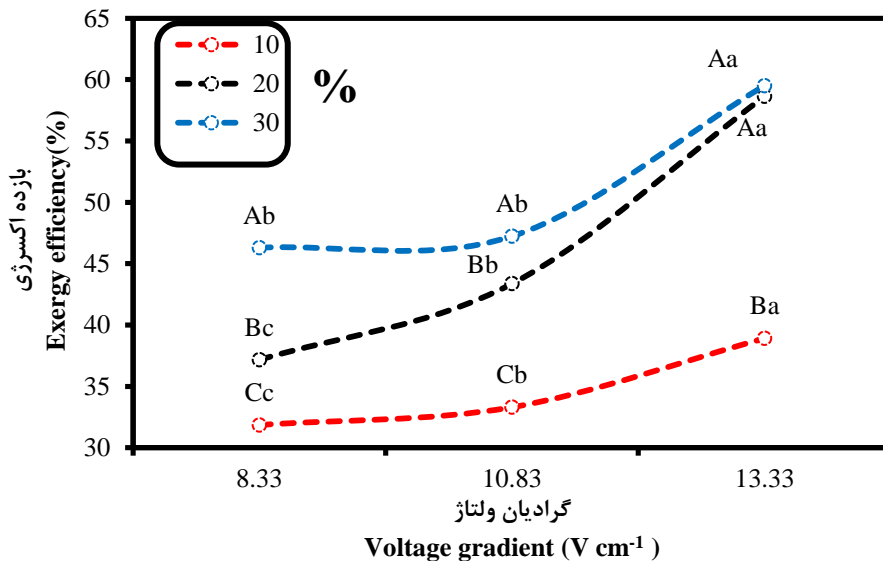
درصد کاهش وزن‌های مختلف تفاوت معنی‌داری وجود داشته است و این اتفاق در یک درصد کاهش وزن ثابت برای گرادیان‌های ولتاژ نیز مشاهده شده است و هریک از گرادیان‌های ولتاژ تفاوت معنی‌داری با یکدیگر داشته‌اند. هرچه میزان درصد کاهش وزن کمتر باشد زمان فرآیند نیز کمتر خواهد بود؛ و با افزایش ولتاژ نیز میزان مدت‌زمان کاهش وزن نیز کمتر شده است که دلیل این امر را می‌توان این‌گونه



شکل ۳- اثر متقابل گرادیان ولتاژ و درصد کاهش وزن بر روی بازده انرژی  
Fig.3. Interaction of voltage and weight percentage on energy efficiency

۳۰٪ مشاهده نشده است. شاید دلیل این امر با افزایش گرادیان ولتاژ بتوان این‌گونه توجیه کرد که با افزایش گرادیان ولتاژ میزان تبادل دمایی بین مرز سیستم با محیط اطراف کاهش می‌باید و همین کاهش، سبب افزایش میزان بازده اکسرژی دستگاه می‌گردد. همچنین دلیل دیگر این امر را می‌توان این‌گونه توضیح داد که انرژی الکتریکی در شروع گرمایش برای بالا بردن دمای نمونه صرف می‌شود و کار خاصی بر روی محصول انجام نمی‌شود و در این حین رطوبت بسیار کمی تبخیر شده که منجر به کاهش مقادیر راندمان اکسرژی می‌شود. با گذشت زمان و افزایش دمای نمونه، میزان تبخیر افزایش یافته و بنابراین منجر به افزایش راندمان اکسرژی می‌شود. همچنین بوزکارت و همکاران (Bozkurt and Icier, 2010) بر روی فرآیند پختن با استفاده از حرارت‌دهی به نتایج مشابه‌ای دست یافتند.

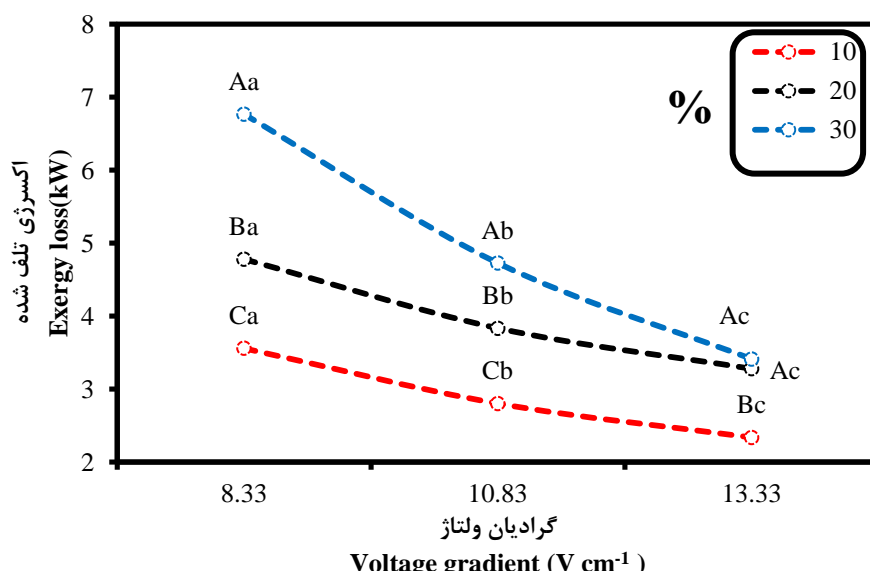
**بازده اکسرژی**  
اثر متقابل گرادیان ولتاژ و درصد کاهش وزن برای بازده اکسرژی در شکل ۴ نشان داده شده است که با توجه به شکل، با افزایش گرادیان ولتاژ میزان بازده اکسرژی افزایش یافته است و این مورد در تمامی درصد کاهش وزن مشاهده می‌شود. در شکل ۴ بیشترین مقدار بازده اکسرژی ۵۹/۵۱٪ در گرادیان ولتاژ  $13/33\text{ V cm}^{-1}$  و درصد کاهش وزن ۳۰٪ و کمترین مقدار ۸۵/۳۱٪ در گرادیان ولتاژ  $13/83\text{ V cm}^{-1}$  و درصد کاهش وزن ۱۰٪ مشاهده شده است. در یک درصد کاهش وزن ثابت تفاوت معنی‌داری از لحاظ آماری بین تمامی گرادیان‌های ولتاژ مشاهده شده است همچنین در یک گرادیان ولتاژ ثابت برای  $13/33\text{ V cm}^{-1}$  و  $10/83\text{ V cm}^{-1}$  بین درصد کاهش وزن‌های مختلف تفاوت معنی‌داری مشاهده شده است اما در گرادیان ولتاژ  $13/83\text{ V cm}^{-1}$  تفاوت معنی‌داری بین درصد کاهش وزن‌های ۲۰٪ و



شکل ۴- اثر متقابل گرادیان ولتاژ و درصد کاهش وزن بر روی بازده اکسرژی  
Fig.4. Interaction of voltage and weight percentage on exergy efficiency

اکسرژی تلفشده و تولید آنتروپی را داشته باشیم که همین امر به معنی افزایش بازده اکسرژی سیستم بوده است و شاید تغییرات اکسرژی به خاطر اختلاف دما بین مرز سیستم و محیط اطراف نیز رخدده و در ولتاژهای بالا به دلیل این که سریع دمای محصول بالا می‌رود میزان تبادل دمایی با محیط اطراف به دلیل سرعت بالایی دمایی درون نمونه کاهش می‌یابد و همین امر سبب می‌شود که میزان اکسرژی تلفشده کاهش بیابد (Bozkurt and Icier, 2010).

**اکسرژی تلفشده**  
در شکل ۵ نتایج اثر متقابل گرادیان ولتاژ و درصد کاهش وزن برای اکسرژی تلفشده نشان داده شده است که با توجه به آن با افزایش میزان گرادیان برای هر درصد کاهش وزن میزان اکسرژی تلفشده کاهش پیداکرده است و در یک گرادیان ولتاژ ثابت، با افزایش درصد کاهش وزن، اکسرژی تلفشده افزایش یافته است؛ کاهش زمان فرآیند حرارت‌دهی و یکنواخت کردن دما در نقاط مختلف توسط این فرآیند سبب این شده است که کمترین میزان

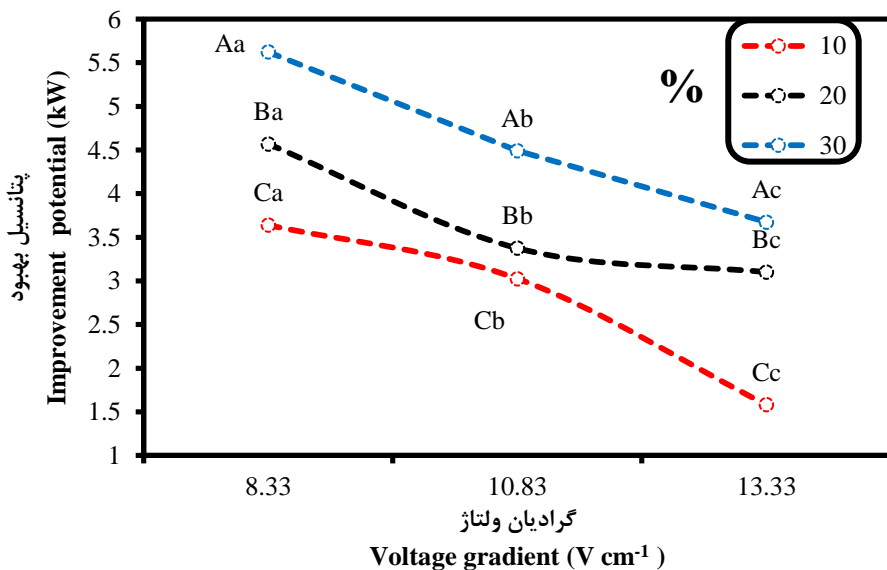


شکل ۵- اثر متقابل گرادیان ولتاژ و درصد کاهش وزن بر روی اکسرژی تلفشده  
Fig.5. Interaction of voltage and weight percentage on exergy loss

بالاتر، جریان عبوری از میان نمونه و قدرت میدان الکتریکی بالاتر است، درنتیجه اتلاف انرژی الکتریکی بهصورت گرما افزایش می‌یابد که باعث افزایش میزان تبخیر در نمونه می‌شود ( Darvishi et al., 2015). همچنین در ابتدا به دلیل اشباع نبودن ظرفیت گرمایی نمونه گرمایی بهوجود آمده از طرف میدان الکتریکی صرف گرم شدن ماده می‌شود اما با گذشت زمان این گرما از طریق منافذ موجود در سلول کاهش می‌یابد و باعث کاهش اکسرژی در نتیجه کاهش پتانسیل بهبود می‌شود، می‌توان با عایق‌بندی مناسب سلول ازاین پدیده به میزان قابل توجهی جلوگیری کرد.

### پتانسیل بهبود

نتایج اثر متقابل گرadiان ولتاژ و درصد کاهش وزن در شکل ۶ برای پتانسیل بهبود نشان داده شده است. در شکل بیشترین میزان پتانسیل بهبود در  $V \text{ cm}^{-1}$  ۸/۳۳ و درصد کاهش وزن ۳۰٪ و کمترین مقدار در گرadiان ولتاژ  $V \text{ cm}^{-1}$  ۱۳/۳۳ و درصد کاهش وزن ۱۰٪ بوده است. با توجه به شکل ۶ می‌توان مشاهده کرد که با افزایش میزان ولتاژ میزان پتانسیل بهبود، کاهش یافته است. دلیل این امر نیز انتقال گرمایی نهان طی تبخیر در طی کاهش میزان رطوبت نمونه، نرخ تبخیر را نیز کاهش می‌دهد و همچنین در گرadiان‌های ولتاژ



شکل ۶- اثر متقابل گرadiان ولتاژ و درصد کاهش وزن بر روی پتانسیل بهبود  
Fig.6. Interaction of voltage and weight percentage on improvement potential

در ۱۰ درصد کاهش وزن (۱۸/۱۴٪)- ۲۰ درصد کاهش وزن (۳۶/۶۲٪)- ۳۰ درصد کاهش وزن (۲۲/۲۰٪) میزان بازده اکسرژی افزایش داشته است.

- با افزایش گرadiان ولتاژ میزان اکسرژی تلف شده نیز بهطور معنی‌داری کاهش پیدا کرده است و با افزایش درصد کاهش وزن نیز بهطور معنی‌داری این مقدار زیاد شده است و همچنین نتایج نشان داد که با افزایش گرadiان ولتاژ از  $8/33$  به  $10/83$  در  $10/83 \text{ V cm}^{-1}$  در ۱۰ درصد کاهش وزن (۲۶/۹۲٪)- ۲۰ درصد کاهش وزن (۲۶/۱۶٪)- ۳۰ درصد کاهش وزن (۴۳/۱۶٪) و با افزایش گرadiان ولتاژ از  $8/33$  به  $13/33 \text{ V cm}^{-1}$  در ۱۰ درصد کاهش وزن (۵۲/۱۶٪)- ۲۰ درصد کاهش وزن (۴۵/۸۳٪)- ۳۰ درصد کاهش وزن (۹۸/۲۰٪) میزان اکسرژی تلف شده کاهش یافته است.

- پتانسیل بهبود با افزایش گرadiان ولتاژ کاهش یافت و تفاوت معنی‌داری بین گرadiان‌های ولتاژ برای پتانسیل بهبود بوده و با افزایش گرadiان ولتاژ از  $8/33 \text{ V cm}^{-1}$  به  $10/83$  در ۱۰ درصد

### نتیجه‌گیری

- با افزایش گرadiان ولتاژ میزان بازده انرژی افزایش یافته و بین تمامی گرadiان‌های ولتاژ تفاوت معنی‌داری از لحاظ آماری مشاهده شده است و با افزایش گرadiان ولتاژ از  $8/33 \text{ V cm}^{-1}$  به  $10/83 \text{ V cm}^{-1}$  در ۱۰ درصد کاهش وزن (۹/۴٪)- ۲۰ درصد کاهش وزن (۲۱/۲٪)- ۳۰ درصد کاهش وزن (۲۴/۸٪)- ۴۰ درصد کاهش وزن (۲۸/۴٪)- ۵۰ درصد کاهش وزن (۲۹/۵٪) میزان بازده انرژی افزایش یافته است.

- برای بازده اکسرژی زمانی که گرadiان ولتاژ زیاد شد میزان آن نیز افزایش یافت و در تمامی درصدهای کاهش وزن تفاوت معنی‌داری بین گرadiان ولتاژ وجود داشته است و با زیاد شدن گرadiان ولتاژ از  $8/33 \text{ V cm}^{-1}$  به  $10/83$  در ۱۰ درصد کاهش وزن (۴/۳٪)- ۲۰ درصد کاهش وزن (۱۴/۳۱٪)- ۳۰ درصد کاهش وزن (۱/۹۸٪) و در گرadiان ولتاژ  $13/33 \text{ V cm}^{-1}$  به  $10/83$  در ۱۰ درصد

بازده اکسرژی که کار مفید بر روی نمونه است افزایش پیدا خواهد کرد و با افزایش گرadiان ولتاژ میزان اکسرژی تلف شده نیز کمتر خواهد بود که برای آزمایش اهمیک بهترین گرadiان ولتاژ  $V \text{ cm}^{-1}$  ۱۳/۳۳ بود، چرا که بیشترین بازده انرژی و اکسرژی و کمترین اکسرژی تلف شده را داشته است.

کاهش وزن (%۲۰/۲۹) - ۲۰ درصد کاهش وزن (%۳۵/۲۸) - ۳۰ درصد کاهش وزن (%۲۵/۰۳) و با افزایش گرadiان ولتاژ از ۸/۳۳ به ۱۳/۲۲ در ۱۰ درصد کاهش وزن (%۱۳۰/۰۸) - ۲۰ درصد کاهش وزن (%۴۷/۳۷) - ۳۰ درصد کاهش وزن (%۵۳/۰۸) میزان پتانسیل بهبود کاهش یافته است.  
- اگر در فرآیند اهمیک برای خارج‌سازی رطوبت از نمونه‌ها استفاده می‌شود بهتر است بالاترین گرadiان ولتاژ انتخاب شود چرا که

## References

- Abdelmotaleb, A., M. M. El-Kholy, N. H. Abou-El-Hana, and M. A. Younis. 2009. Thin Layer Drying of Garlic Slices Using Convection and Combined (Convection - Infrared) Heating Modes. *Misr Journal of Agricultural Engineering* 26: 251-81.
- Aghbashlo, M., H. Mobli, Sh. Rafiee, and A. Madadlou. 2013. A Review on Exergy Analysis of Drying Processes and Systems. *Renewable and Sustainable Energy Reviews* 22: 1-22.
- Azadbakht, M., H. Aghili, A. Ziaratban, and M. Vehedi Torshizi. 2017. Application of Artificial Neural Network Method to Exergy and Energy Analyses of Fluidized Bed Dryer for Potato Cubes. *Energy* 120: 947-58.
- Azadbakht, M., M. Vahedi Torshizi, F. Noshad, and A. Rokhbin. 2018. Application of Artificial Neural Network Method for Prediction of Osmotic Pretreatment Based on the Energy and Exergy Analyses in Microwave Drying of Orange Slices. *Energy* 165: 836-45.
- Azadbakht, M., M. Vahedi Torshizi, A. Ziaratban, and H. Aghili. 2017. Energy and Exergy Analyses during Eggplant Drying in a Fluidized Bed Dryer. *International Commission of Agricultural and Biosystems Engineering*. 19 (3): 177-82.
- Boldaji Torkian, M., A. M. Borghaei, B. Beheshti, and S. E. Hosseini. 2017. Investigation of Voltage Gradient and Electrode Type Effects on Processing Time, Energy Consumption and Product Quality in Production of Tomato Paste by Ohmic Heating. *Journal of Agricultural Machinery* 7 (1): 152-164. (In Farsi).
- Bozkurt, H., and F. Icier. 2009a. Optimization of Ohmic Cooking of Grounded Beef-Fat Blends: Exergy Approach. *Bio and Electrotechnologies* 21-23.
- Bozkurt, H., and F. Icier. 2010. Exergetic Performance Analysis of Ohmic Cooking Process. *Journal of Food Engineering* 100 (4): 688-95.
- Cokgezme, O. F., S. Sabanci, M. Cevik, H. Yildiz, and F. Icier. 2017. Performance Analyses for Evaporation of Pomegranate Juice in Ohmic Heating Assisted Vacuum System. *Journal of Food Engineering* 207 (4): 1-9.
- Darvishi, H., M. Azadbakht, and B. Noralahi. 2018. Experimental Performance of Mushroom Fl Uidized-Bed Drying : Effect of Osmotic Pretreatment and Air Recirculation. *Renewable Energy* 120: 201-8.
- Darvishi, H., A. Hosainpour, F. Nargesi, and A. Fadavi. 2015. Exergy and Energy Analyses of Liquid Food in an Ohmic Heating Process: A Case Study of Tomato Production. *Innovative Food Science and Emerging Technologies* 31: 73-82.
- Darvishi, H., A. Hosainpour, F. Nargesi, M. H. Khoshtaghaza, and H. Torang. 2011. Ohmic Processing: Temperature Dependent Electrical Conductivities of Lemon Juice. *Modern Applied Science* 5 (1): 209-16.
- Darvishi, H., M. H. Khostaghaza, and Gh. Najafi. 2013. Ohmic Heating of Pomegranate Juice: Electrical Conductivity and pH Change. *Journal of the Saudi Society of Agricultural Sciences* 12 (2): 101-8.
- Ghnnimi, S., and N. Flach-Malaspina. 2007. Energy Efficiency of a Novel Ohmic Heating Technology by Fluid Jet Materiel and methods. *Energy* 49-58.
- Halleux, D., G. Piette, M. Buteau, and M. Dostie. 2005. Ohmic Cooking of Processed Meats : Energy Evaluation and Food Safety Considerations. *Canadian Biosystems Engineering* 41-47.
- Hammond, G. P., and A. J. Stapleton. 2001. Exergy Analysis of the United Kingdom Energy System. *Proceedings of the Institution of Mechanical Engineers, Part A: Journal of Power and Energy* 215 (2): 141-62.
- Han, H. Z., B. X. Li, H. Wu, and W. Shao. 2015. Multi-objective shape optimization of double pipe heat exchanger with inner corrugated tube using RSM method. *International Journal of Thermal Sciences* 90: 173-186. <https://doi.org/10.1016/j.ijthermalsci.2014.12.010>.
- Heldman, D., and M. Carmen. 2014. Encyclopedia of Agricultural, Food, and Biological Engineering, -2 Volume Set (Print Version). Crc Press.
- Hepbasli, A. 2008. A Key Review on Exergetic Analysis and Assessment of Renewable Energy Resources for a Sustainable Future. *Renewable and Sustainable Energy Reviews* 12 (3): 593-661.
- Icier, F. 2009. Influence of Ohmic Heating on Rheological and Electrical Properties of Reconstituted Whey Solutions. *Food and Bioproducts Processing* 87 (4): 308-16.
- Icier, F., and C. Ilcali. 2005. Temperature Dependent Electrical Conductivities of Fruit Purees during Ohmic Heating. *Food Research International* 38 (10): 1135-42.

22. Jindarat, W., P. Rattanadecho, and S. Vongpradubchai. 2011. Analysis of Energy Consumption in Microwave and Convective Drying Process of Multi-Layered Porous Material inside a Rectangular Wave Guide. *Experimental Thermal and Fluid Science* 35 (4): 728-37.
23. Mokhtarian, M., H. Tavakolipour, and A. Kalbasi-Ashtari. 2016. Energy and Exergy Analysis in Solar Drying of Pistachio with Air Recycling System. *Drying Technology* 34 (12): 1484-1500.
24. Moreno, J., C. Espinoza, R. Simpson, G. Petzold, H. Nuñez, and M. P. Gianelli. 2016. Application of Ohmic Heating/vacuum Impregnation Treatments and Air Drying to Develop an Apple Snack Enriched in Folic Acid. *Innovative Food Science and Emerging Technologies* 33: 381-86.
25. Moreno, J., R. Simpson, M. Sayas, I. Segura, O. Aldana, and S. Almonacid. 2011. Influence of Ohmic Heating and Vacuum Impregnation on the Osmotic Dehydration Kinetics and Microstructure of Pears (cv. Packham's Triumph). *Journal of Food Engineering* 104 (4): 621-27.
26. Myers, R.H., D.C. Montgomery, and C.M. Anderson-Cook, 2009. *Response Surface Methodology: Process and Product Optimization Using Designed Experiments* 3rd Edition (3rd ed.). Wiley.
27. Sastry, Sudhir K., S. Palaniappan. 1992. mathematical modeling and experimental studies on ohmic heating of liquid-particle mixtures in a static heater. *Journal of Food Process Engineering* 15: 241-261.
28. Sharqawy, M., V.J.H. Lienhard, S.M. Zubair. 2010. The Thermophysical Properties of Seawater : A Review of Existing Correlations and Data Accessed Thermophysical Properties of Seawater : A Review of Existing Correlations and Data. *Desalination and Water Treatment* 16: 354-80.
29. Tull, A. 1996. *Food and Nutrition*. 3rd ed. Oxford University Press.
30. Varghese, K., M. C. Shibly, Pandey, K. Radhakrishna, and A. S. Bawa. 2012. Technology, Applications and Modelling of Ohmic Heating: A Review. *Journal of Food Science and Technology* 51 (10): 2304-17.
31. Zell, M., J. G. Lyng, D. J. Morgan, and D. A. Cronin. 2011. Minimising Heat Losses during Batch Ohmic Heating of Solid Food. *Food and Bioproducts Processing* 89 (2): 128-34.

## Investigation of some Energy and Exergy Factors during Ohmic Heating Processing of Sour Orange

M. Vahedi Torshizi<sup>1</sup>, M. Azadbakht<sup>2\*</sup>, M. Kashaninejad<sup>3</sup>

Received: 18-05-2019

Accepted: 17-12-2019

### Introduction

Food is composed of various compounds, and when the food quality expires, it becomes inappropriate for consumption and the end of life leads to some pathogenic microorganisms in food. So food processing is essential. In recent years, various heat treatments have been considered that have various disadvantages, so researchers are looking for alternative technologies in industrial processing to overcome these problems. Electric treatments play an important role in food heating technology and one of the methods of electric thermal processing is ohmic processing, that ohmic heat is based on the flow of electricity through a product. The purpose of this study was to investigate the effect of voltage and weight loss on the amount of energy and exergy during this process in order to obtain the best amount of energy consumed during the heating process, since the most common way to heal the heating is by heating. In addition to maintaining the product's qualitative characteristics, the product has to carefully monitor its own system parameters.

### Materials and Methods

The sour oranges were purchased from a garden located in the city of Gorgan, Golestan province. The prepared oranges were washed and divided into two halves in the middle and immediately after purchase, all samples of juice were taken manually in the same conditions and the samples were prepared to conduct the test during the ohmic process with voltage gradients and the percentages of different weight loss to investigate the amount of energy efficiency, exergy efficiency, exergy loss, and improvement potential during the process. For the heating process, three voltage gradients of 8.33, 10.83 and 13.33 V cm<sup>-1</sup> and three percentage values of weight loss of 10% (from 90 g to 81 g), 20% (from 90 g to 72 g), and 30% (from 90 g to 63 g) were selected. Then, the energy and exergy consumed during the process were calculated and analyzed using a factorial experiment in a completely randomized design with SAS statistical software.

### Results and Discussion

Based on the results, it can be concluded that the voltage gradient and weight loss percentages are significant for energy efficiency, exergy efficiency, exergy, and potential improvement at 1% level. Increasing the voltage gradient increases the efficiency of energy and exergy and reduces the potential for recovery and exergy is wasted. The highest energy efficiency was 91.6% in the 13.83 V cm<sup>-1</sup> voltage gradient and the weight loss percentages 10% and the lowest value was 51.51% in the voltage gradient of 8.33 V cm<sup>-1</sup> and the weight loss percentages 30%. The maximum improvement potential was 8.33 V cm<sup>-1</sup> and the weight reduction was 30% and the lowest value was at 13.33 V cm<sup>-1</sup> voltage gradient and 10% weight loss percentages. The highest exergy efficiency of 59.51% was found in the 13.83 V cm<sup>-1</sup> voltage gradient and the weight loss percentage was 30% and the lowest value was 31.88% on a voltage gradient of 8.33 V cm<sup>-1</sup> and a weight percentage of 10%.

### Conclusions

- By increasing the voltage gradient, the energy efficiency had increased and there was a significant difference between all the volatility gradients.
- For exergy efficiency, when the voltage gradient increased, the exergy efficiency amount increased, and in all percentages weight loss was a significant difference between the voltage gradient.
- By increasing the voltage gradient, the amount of exergy loss decreased significantly and with increasing percentage weight loss, this amount was significantly increased.
- The improvement potential was reduced by increasing the voltage gradient and there was a significant difference between the voltage gradients for the improvement potential.

**Keywords:** Energy and exergy, Ohmic process, Sour orange, Statistical analysis

1- MSc Graduated, Department of Bio-System Mechanical Engineering, Gorgan University of Agricultural Sciences and Natural Resources, Gorgan, Iran

2- Associate Professor, Department of Bio-System Mechanical Engineering, Gorgan University of Agricultural Sciences and Natural Resources, Gorgan, Iran

3- Professor, Department of Food Science and Technology, Gorgan University of Agricultural Sciences and Natural Resources, Gorgan, Iran

(\* Corresponding Author Email: azadbakht@gau.ac.ir)

